

TÚ: 0331 Havlovice (včetně) (býv. Paseč. mimo) – Tachov (mimo)  
DÚ: 30 Staré Sedliště – Tachov zastávka

VÝŠKOVÝ SYSTÉM Bpv

SOUŘADNICOVÝ SYSTÉM S–JTSK

	Vedoucí projektu	Zodpovědný projektant	Investor	SŽ s.o., OŘ PLZEŇ
	ING. L. MAREK	ING. J. SVITAVSKÝ	Místo stavby	ČÁSTKOV U TACHOVA
	 Vypracoval	 Kontroloval	Formát	
	ING. O. LOJÍK Ph.D.	ING. L. MAREK	Datum	03/2021
			Účel	DUSP
			Měřítko	
TOP CON SERVIS s.r.o., Ke Stírce 1824/56, 182 00 Praha 8, tel/fax: 284 021 741, email: topcon@topcon.cz			Č.zakázky	86–20
OPRAVA MOSTU V KM 66,856 TR. HAVLOVICE–TACHOV SO 01 – OPRAVA MOSTU			Číslo kopie	Číslo přílohy  D1–08
STATICKÝ VÝPOČET				

**Oprava mostu v km 66,856 tr. Havlovice-Tachov**

**Dokumentace pro společné povolení stavby (*DUSP*)**

**SO 01 – Rekonstrukce mostu**

**STATICKÝ VÝPOČET**

**Obsah:**

1. Popis .....	2
1.1. Popis nosné konstrukce .....	2
1.2. Popis spodní stavby .....	2
1.3. Popis výpočetního modelu .....	2
2. Zatížení .....	2
2.1. Stálé .....	2
2.2. Nahodilé krátkodobé .....	3
2.2.1. Svislé zatížení železniční dopravou .....	3
2.2.2. Boční rázy .....	3
2.2.3. Rozjezdové a brzdné síly .....	4
2.2.4. Zatížení teplotou .....	4
2.2.5. Zatížení větrem .....	4
2.2.6. Zatížení neveřejných služebních chodníků .....	5
2.2.7. Vykolejení a jiná zatížení železničních mostů .....	5
3. Hlavní nosník .....	6
3.1. Ve středu rozpětí .....	6
3.1.1. Vnitřní síly .....	8
3.1.2. Mezní stav únosnosti .....	9
3.1.3. Mezní stav únavy .....	10
3.1.4. Závěr .....	11
3.2. Změna průřezu hl. nosníku .....	12
3.2.1. Vnitřní síly .....	13
3.2.2. Mezní stav únosnosti .....	14
3.2.3. Mezní stav únavy .....	14
3.2.4. Závěr .....	15
3.3. Smyková únosnost .....	16
3.4. Krční svary hl. nosníku .....	17
4. Příčná výztuha pod podkladnicí .....	18
4.1. Průřezové charakteristiky .....	18
4.2. Vnitřní síly .....	18
4.3. Mezní stav únosnosti .....	20
4.4. Mezní stav únavy .....	21
4.5. Krční svar .....	22
4.6. Závěr .....	22
4.7. Lokální únosnost stěny v příčniku .....	23
5. Opěra .....	24
5.1. Reakce .....	24
5.2. Úložný práh opěr – napětí pod ozubem, příčné tahy .....	25
5.3. Příčná zarážka .....	26
6. Dynamická analýza konstrukce .....	27
7. Deformace konstrukce .....	27
8. Tabulka zatížitelnosti .....	28

## 1. Popis

Účel tohoto statického výpočtu je návrh hlavní nosné konstrukce, který je situován v km 66,856 na trati Havlovice – Tachov. Most se nachází v širé tati, převážně v přímé před opěrou O2 začíná přechodnice oblouku. Na mostě je navržen VMP 2,5.

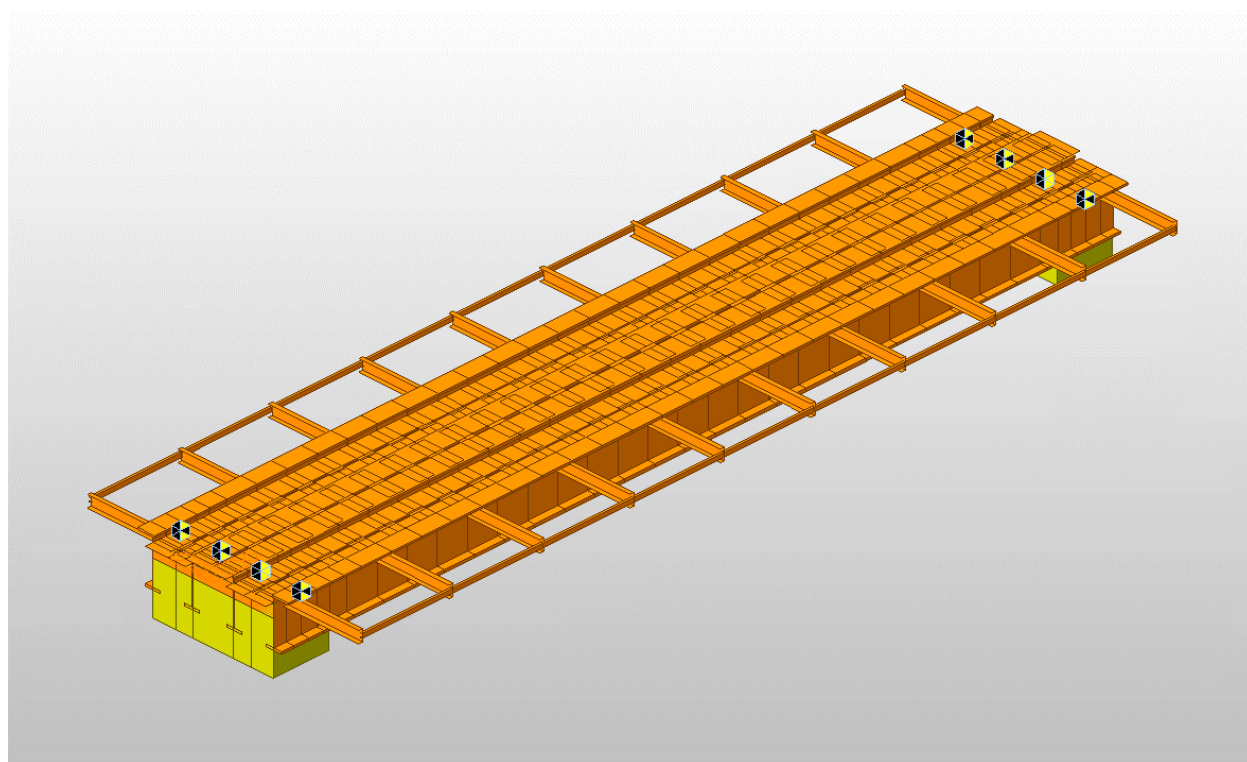
### 1.1. Popis nosné konstrukce

Ocelová konstrukce bude vyrobena v jednom celku a do otvoru vložena včetně vybetonovaných příčníků. Skládá se ze 4 hlavních plnostěnných nosníků, kdy horní pásnice je v místě kolejnic svisle posunuta mezi stěny hl. nosníků. V místě podkladnic jsou v příčném směru páskové výztuhy.

### 1.2. Popis spodní stavby

### 1.3. Popis výpočetního modelu

Model je tvořen z prutových prvků. Průřezové veličiny modelovaných prutů odpovídají průřezovým charakteristikám skutečných prvků. Na prutech jsou zadána excentricity jednotlivých prutů odpovídající skutečnému působení.



## 2. Zatížení

### 2.1. Stálé

Vlastní váha jednotlivých prutů je automaticky generována programem IDA Nexis. Součinitel zatížení pro stálé zatížení je uvažován  $\gamma_f=1,35$ . Pokud jsou nějaké konstrukční části, které nejsou modelovány v programu, jsou vyčísleny jako zbytek stálého.

	<i>normové zatížení</i>	$\gamma_f$
Chodníkové rošty	0.74 kN/m <sup>2</sup>	1,35
Zábradlí	1,0 kN/m	1,35
Železniční kolejnice s upevňovacími	1,70 kN/m	1,35

## 2.2. Nahodilé krátkodobé

### 2.2.1. Svislé zatížení železniční dopravou

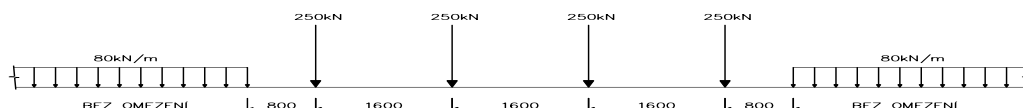
Dle zadávacích podmínek a 3. až 4. kategorie železničních tratí z hlediska mostů, je použit dle EN1991-2 „model zatížení 71“ klasifikovaný součinitelem  $\alpha = 1,1$ .

Poloha pohyblivého zatížení byla určena tak, aby zatížení vyvolávalo maximální účinky v posuzovaných průřezech.

Přepočtené provozní zatížení je do 1,83 t/ kolej.

#### Model zatížení 71

Bude násobeno  $\alpha = 1,10$



Pro zatížení modelem zatížení 71 uvažován součinitel zatížení  $\gamma_f=1,45$ .

Odstředivá síla:

Vzhledem k tomu, že na mostě začíná přechodnice oblouku je uvažovaná následující odstředivá síla:

V=	50	km/h
R=	630	m
f=	0.85	
H3 =	2534	mm

#### Vodorbé zatížení

$Q_{V1} =$	250	kN	$q_{V1} =$	80	kN/m
$Q_{t1} =$	6.6	kN	$q_{t1} =$	2.1	kN

#### Svislá dvojice sil

$Q_{t1} P =$	11.2	kN	$q_{t1} P =$	3.6	kN/m
$Q_{t1} L =$	-11.2		$q_{t1} L =$	-3.6	kN/m

### 2.2.2. Boční rázy

( $\gamma_f=1,45$ )

Osamělá síla v nejúčinnější poloze ve výšce temene kolejnic  
 $B = 100 \cdot \alpha = 121 \text{ kN}$ , působí v úrovni temene kolejnic

### 2.2.3. Rozjezdové a brzdné síly

( $\gamma_f = 1,45$ )

Vzhledem k délce konstrukce bude rozhodující rozjezdová síla

K účinku na nosnou konstrukci se nepřihlíží.

Redukční součinitel pro bezstykovou kolej 0,6:

Rozjezdová síla:  $Q_{lak} = \alpha \cdot 33 \text{ kN/m} \cdot L \cdot 0,6 \leq 1000 \text{ kN}$

$$Q_{lak} = 1,1 \cdot 33 \cdot 16,7 \cdot 0,6 = 340 < 1000 = \underline{\underline{363 \text{ kN / jednu kolej}}}$$

Brzdná síla: LM-71  $Q_{lbk} = \alpha \cdot 20 \text{ kN/m} \cdot L \cdot 0,6 \leq 6000 \text{ kN}$

$$Q_{lbk} = 1,1 \cdot 20 \cdot 16,7 \cdot 0,6 = \underline{\underline{220 \text{ kN / jednu kolej}}}$$

### 2.2.4. Zatížení teplotou

( $\gamma_f = 1,5$ )

**Rovnoměrná složka teploty**

Konstrukce: 1. typ

$T_{max} = 39 \text{ °C}$  ... max. teplota vzduchu ve stínu

$T_{min} = -33 \text{ °C}$ ... min. teplota vzduchu ve stínu

$T_{e,max} = 39 + 16 = 55 \text{ °C}$  ... max. teplota mostu

$T_{e,min} = -33 - 3 = -36 \text{ °C}$ ... min. teplota mostu

Pro výpočet posunů ložisek a dilatací MZ budou brány hodnoty o  $10 \text{ °C}$  větší dle ČSN EN 1991-1-5.

$T_{e,max} = 55 + 10 = 65 \text{ °C}$  ... max. teplota mostu

$T_{e,min} = -36 - 10 = -46 \text{ °C}$ ... min. teplota mostu

Nerovnoměrná složka zatížení teplotou se neuvažuje

### 2.2.5. Zatížení větrem

**Zatížení větrem mostních konstrukcí  
příčný směr**

$d_{tot} =$	5.6	m	(b) $b/d_{tot} =$	0.9	Zatížený most
$b =$	5.100	m			
cca. $z =$	5	m	(b) $C_{fx,0} =$	2.3	Zatížený most

$C_e =$	1.7
$C_{f,x} =$	2.25
$C_{kor,x} =$	1.00
$C =$	3.83
$v_b = v_{b0} =$	25 m/s
$\rho =$	1.25 kg/m <sup>3</sup>

$$F_w = 0.5 \cdot \rho \cdot v_b^2 \cdot C \cdot A_{ref,x}$$

$$(b) F_w = 1.49 \quad *A_{ref,x} \quad (kN)$$

	h - prvku mm	Zatížený kN/m
vlak	4000	5.98
most	1000	1.49
zábradlí	70	0.10

### svislý směr

$$\begin{aligned} C_e &= 1.7 \\ C_{f,z} &= 0.9 \\ C_{kor,x} &= 1.00 \\ C &= 1.53 \\ V_b = V_{b0} &= 25 \quad m/s \\ \rho &= 1.25 \quad kg/m^3 \end{aligned}$$

$$F_w = 0.5 \cdot \rho \cdot V_b^2 \cdot C \cdot A_{ref,x}$$

$$(b) F_w = 0.60 \quad *A_{ref,z} \quad (kN)$$

	d - prvku mm	Zatížený kN/m
most	5100	7.62

### 2.2.6. Zatížení neveřejných služebních chodníků

( $\gamma_f = 1,5$ )

Zatížení chodci a obecnou údržbou – rovnoměrné zatížení:

$$g_{fk} = 5 \text{ kN/m}^2$$

Soustředěné zatížení osaměle působící na čtvercovou plochu o straně 200 mm:

$$G_k = 2,0 \text{ kN}$$

### 2.2.7. Vykolejení a jiná zatížení železničních mostů

Stabilita a únosnost hlavních nosných prvků mostu na zatížení železničního mostu od vykolejení železniční dopravy dle ČSN EN 1991-2 byla ověřena, konstrukce vyhovuje.

### 3. Hlavní nosník

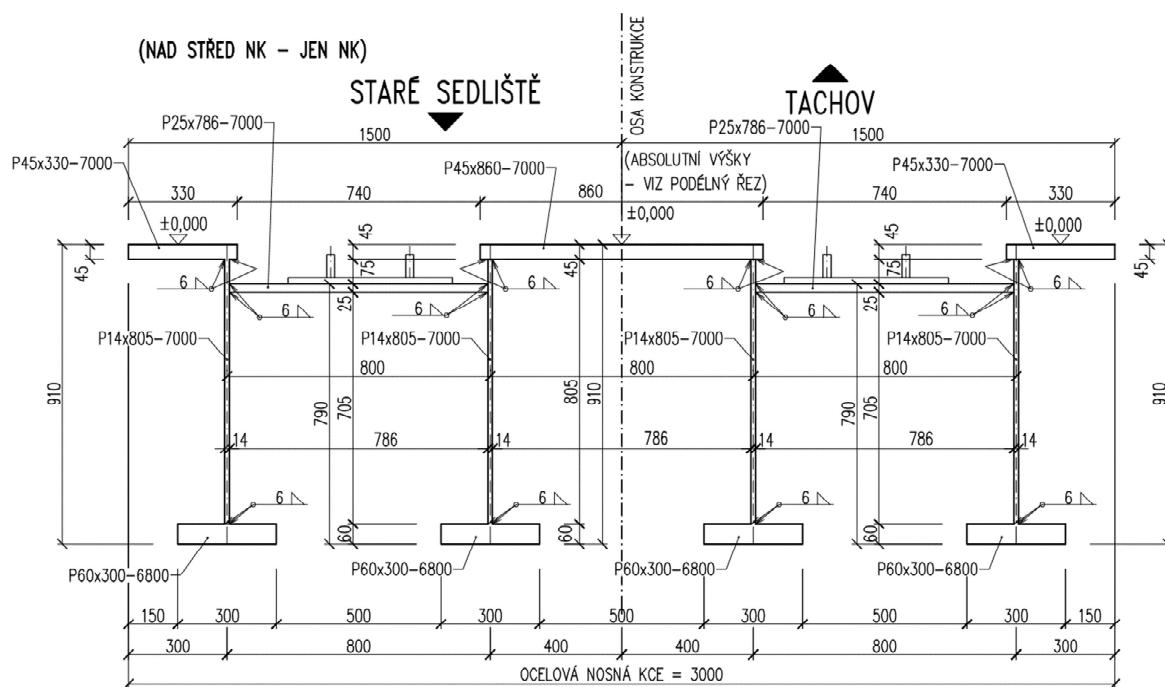
Dynamický součinitel

$$L_d = 15.6 \quad \text{m}$$

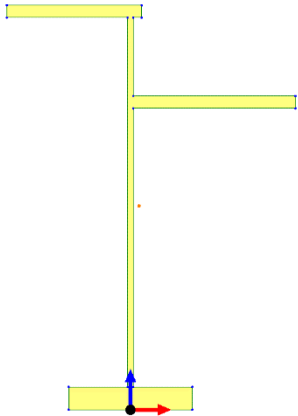
$$\phi_2 = \frac{1.44}{(L_d)^{0.5} \cdot 0.2} + 0.82 = 1.20 \quad (1.00 < \phi_2 < 1.67)$$

$$\phi_3 = \frac{2.16}{(L_d)^{0.5} \cdot 0.2} + 0.73 = 1.31 \quad (1.00 < \phi_3 < 2.00)$$

#### 3.1. Ve středu rozpětí



Area	53070	mm <sup>2</sup>
SAx	16260	mm <sup>2</sup>
SAy	11935	mm <sup>2</sup>
Ixx	7.521E+09	mm <sup>4</sup>
Iyy	9.436E+08	mm <sup>4</sup>
Ixy	-3.188E+08	mm <sup>4</sup>
J	3.497E+07	mm <sup>4</sup>
Cx (+)	371	mm
Cx (-)	294	mm
Cy (+)	422	mm
Cy (-)	488	mm





## Průřezové charakteristiky

$A_{eff} =$	53070 mm <sup>2</sup>	$h =$	910 mm
$A_v =$	11270 mm <sup>2</sup>	$c_z =$	488 mm
$I_{y,eff} =$	7.52E+09 mm <sup>4</sup>	$c_{z,h} =$	422 mm
$I_{z,eff} =$	9.44E+08 mm <sup>4</sup>	$c_{z,d} =$	488 mm
$i_{y,eff} =$	376 mm	$e_N =$	0 mm
$i_{z,eff} =$	133 mm	$t_w =$	14 mm
$W_{eff,y,h} =$	1.78E+07 mm <sup>3</sup>	$h_w =$	805 mm
$W_{eff,y,d} =$	1.54E+07 mm <sup>3</sup>		

## Průřezové charakteristiky

## Klasifikace průřezu

$d =$	800 mm	$c =$	289 mm
$t_w =$	14 mm	$t_f =$	45 mm
$f_{y,w} =$	355 MPa	$f_y =$	335 MPa
$\varepsilon =$	0.81	$\varepsilon =$	0.84
$\sigma_h =$	-171 MPa		
$\sigma_d =$	201 MPa		

## Stěna

$d/t_w =$	57	<	$42 \cdot \varepsilon / (0.67 + 0.33 \cdot \psi)$
$d/t_w =$	57	<	119 <b>Třída 3</b>

## Horní pásnice

$c/t_{f,h} =$	6.4	<	$9 \cdot e$
$c/t_{f,h} =$	6.4	<	7.54 <b>Třída 1</b>

## Třída 3

### 3.1.1. Vnitřní síly

Charakteristické hodnoty

			Glo	Lok		N	Vz	My
		$\gamma_F$	$\phi_3$	$\phi_3$	$\alpha$	[kN]	[kN]	[kNm]
Stálé zatížení	$G_{k1}$	1.35				33	0	142
Ostatní trvalé zatížení	$G_{k2}$	1.35				20	0	89
Vlak LM-71	$Q_{71}$	1.45	1.31	1.31	1.1	211	2	976
Odstř LM-71	$Q_{71-O}$	1.45			1.1	3	1	44
Vlak LM-71	$Q_{71min}$	1.45	1.31	1.31	1.1	0	0	0
Rozjezdové a brzdné síly	$Q_{lak}$	1.45			1.1	0	-1	0
Boční rázy	$X_{Sk}$	1.45			1.1	1	0	12
Vítr	$X_w$	1.50				197	-1	306
Teplota	$X_t$	1.50				-796	0	211
Revizní chodník	$X_{ch}$	1.50				25	0	115

Návrhové hodnoty

		N	Vz	My
		[kN]	[kN]	[kNm]
Stálé zatížení	$G_{k1}$	44.5	0.0	192.0
Ostatní trvalé zatížení	$G_{k2}$	26.5	0.0	119.5
Vlak LM-71	$Q_{71}$	440.4	4.8	2038.4
Odstř LM-71	$Q_{71-O}$	0.0	0.0	64.1
Vlak LM-71	$Q_{71min}$	0.0	0.0	0.0
Rozjezdové a brzdné síly	$Q_{Lak}$	0.0	-2.3	0.0
Boční rázy	$Q_{Sk}$	0.8	0.0	18.4
Vítr	$Q_w$	295.7	-1.2	458.7
Teplota	$Q_t$	1193.7	0.0	316.2
Revizní chodník	$X_{ch}$	36.8	0.0	172.6
LM-71				
gr11 - max. svislé a boční	$Q_{gr11-71}$	440.8	4.8	2079.6
gr12 - boční stabilita	$Q_{gr12-71}$	441.3	4.8	2120.9
gr13 - maximální podélná	$Q_{gr13-71}$	220.2	0.1	1019.2
gr14 - maximální boční	$Q_{gr14-71}$	221.1	2.4	1101.7

Maximální návrhové hodnoty zatížení

komb. č.	N [kN]	Vz [kN]	My [kNm]
3	92	4	3081

Mezní stav únavy

Charakteristické hodnoty

		$\gamma_F$	Lok	Glo	$\alpha$	N	Vz	My
			$\phi_2$	$\phi_2$		[kN]	[kN]	[kNm]
Vlak LM-71	$Q_{71}$	1.00	1.2	1.2	1	210.8	2.3	975.6
Vlak LM-71	$Q_{71min}$	1.00	1.2	1.2	1	0.0	0.0	0.0

## Návrhové hodnoty

		N [kN]	Vz [kN]	My [kNm]
Vlak LM-71	Q <sub>71</sub>	252.9	2.8	<b>1170.7</b>
Vlak LM-71	Q <sub>71min</sub>	0.0	0.0	<b>0.0</b>

## 3.1.2. Mezním stav únosnosti

Horní vlákna

Ocel S355

$$f_y = 335 \text{ MPa}$$

$$f_u = 470 \text{ MPa}$$

$$\gamma_{M0} = 1.00$$

$$f_{yd} = 335.00 \text{ MPa}$$

Dolní vlákna

Ocel S355

$$f_y = 335 \text{ MPa}$$

$$f_u = 470 \text{ MPa}$$

$$f_{yd} = 335.00 \text{ MPa}$$

## Maximální návrhové hodnoty zatížení

komb. č.	N [kN]	Vz [kN]	My [kNm]
3	92	4	3081

## Ohybová únosnost průřezu

$$\eta_1 = \frac{\sigma_{X,ED}}{f_{yd}} = \frac{N_{Sd}}{f_{yd} \cdot A_{eff}} + \frac{M_{Sd} + N_{Sd} \cdot e_N}{f_{yd} \cdot W_{eff,y}}$$

V horních vláknech průřezu

$$\eta_1 = -0.005 \quad 0.516$$

$$\eta_1 = 0.511 < 1,0$$

VYHOVÍ

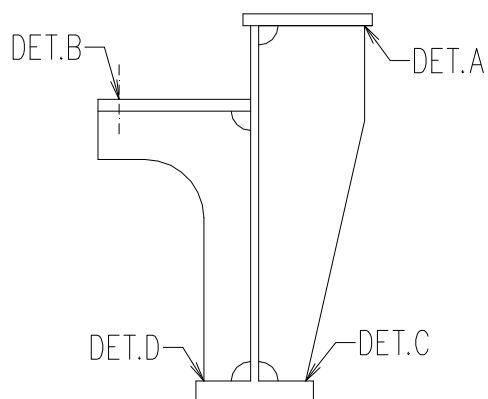
V dolních vláknech průřezu

$$\eta_1 = 0.005 \quad + \quad 0.597$$

$$\eta_1 = 0.602 < 1,0$$

VYHOVÍ

### 3.1.3. Mezní stav únavy



Rozkmit

		N [kN]	Vz [kN]	My [kNm]
Vlak LM-71	Q <sub>71</sub>	211	2	976
Vlak LM-71	Q <sub>71</sub>	0	0	0

bod D - Krční svar horní pásnice			
$W_{\text{eff},y,h,A}=$	1.99E+07 mm <sup>3</sup>	$h_A=$	865 mm
bod B - Svar výztuhy			
$W_{\text{eff},y,d,B}=$	1.99E+07 mm <sup>3</sup>	$h_B=$	865 mm
bod C - Svar výztuhy			
$W_{\text{eff},y,C}=$	1.76E+07 mm <sup>3</sup>	$h_C=$	60 mm
bod D - Krční svar dolní pásnice			
$W_{\text{eff},y,D}=$	1.76E+07 mm <sup>3</sup>	$h_D=$	60 mm

Doprava: 5 \* 10<sup>6</sup> t/kolej

Globální

$L_D=$  15.6 m

$\lambda_1=$  0.75 Standartní doprava - EC Mix

$\lambda_2=$  0.72

$\lambda_3=$  1 doba životnosti 100 let

$\lambda_4=$  1

$\lambda=$  0.54  $\gamma_{MF}=$  1.35

			A	B	C	D
			$\Delta\sigma_{E,2}$	$\Delta\sigma_{E,2}$	$\Delta\sigma_{E,2}$	$\Delta\sigma_{E,2}$
			MPa	MPa	MPa	MPa
max	$\Delta\sigma_{E,2}$	MPa	-26.3	-26.3	29.8	29.8
min	$\Delta\sigma_{E,2}$	MPa	0.0	0.0	0.0	0.0
	$\Delta\sigma_{E,2}$		26.3	26.3	29.8	29.8
	t		45	45	60	60
Vyžaduje det. výpočet ks			ne	ne	ne	ne
	ks		1.00	1.00	1.00	1.00
Kategorie det. $\Delta\sigma_c$		MPa	100	80	80	100
$(\Delta\sigma_c \cdot ks) / \gamma_{Mf}$			<b>74.1</b>	<b>59.3</b>	<b>59.3</b>	<b>74.1</b>
$\gamma_{Ef} \cdot \Delta\sigma_{E,2} < (\Delta\sigma_c \cdot ks) / \gamma_{Mf}$			<b>Vyhoví</b>	<b>Vyhoví</b>	<b>Vyhoví</b>	<b>Vyhoví</b>
Využití			0.35	0.44	0.50	0.40

### 3.1.4. Závěr

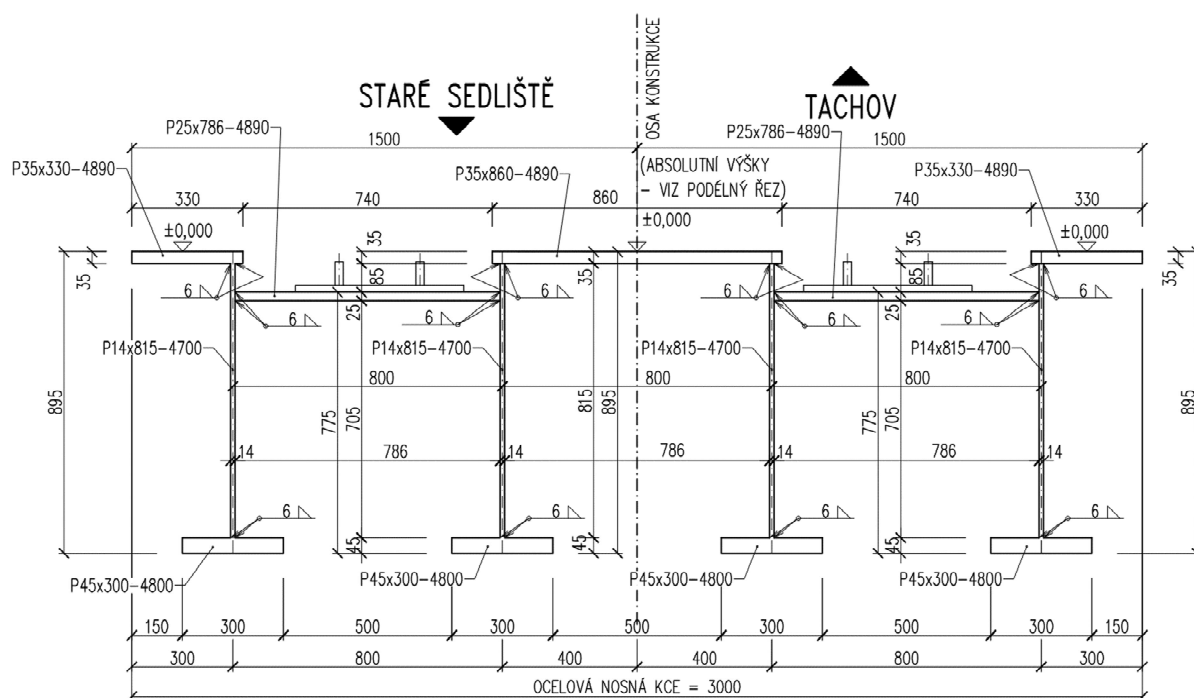
Průřezy vyhoví s následující zatížitelností a využitím v mezním stavu únavy

	<b><math>Z_{LM-71}</math></b>
Hlavní nosník	2.13

	<b>Únava využití</b>
Hlavní nosník	0.50

Rozhodují není mezní stav únosnosti a únavy ale průhyb konstrukce viz. kapitola dále.

### 3.2. Změna průřezu hl. nosníku



Area	45410.0	mm <sup>2</sup>
SAx	14368.7	mm <sup>2</sup>
SAy	11689.4	mm <sup>2</sup>
Ixx	6.001E+09	mm <sup>4</sup>
Iyy	8.217E+08	mm <sup>4</sup>
Ixy	-1.508E+08	mm <sup>4</sup>
J	1.831E+07	mm <sup>4</sup>
Cx (+)	362.7	mm
Cx (-)	302.3	mm
Cy (+)	401.1	mm
Cy (-)	493.9	mm

#### Průřezové charekterisriky

$A_{eff}$	45410 mm <sup>2</sup>	$h$	895 mm
$A_v$	11410 mm <sup>2</sup>	$C_z$	494 mm
$I_{y,eff}$	6.00E+09 mm <sup>4</sup>	$C_{z,h}$	401 mm
$I_{z,eff}$	8.22E+08 mm <sup>4</sup>	$C_{z,d}$	494 mm
$i_{y,eff}$	364 mm	$e_N$	0 mm
$i_{z,eff}$	135 mm	$t_w$	14 mm
$W_{eff,y,h}$	1.50E+07 mm <sup>3</sup>	$h_w$	815 mm
$W_{eff,y,d}$	1.22E+07 mm <sup>3</sup>		

### 3.2.1. Vnitřní síly

Charakteristické hodnoty

			Glo	Lok		N	Vz	My
		$\gamma_F$	$\phi_3$	$\phi_3$	$\alpha$	[kN]	[kN]	[kNm]
Stálé zatížení	$G_{k1}$	1.35				31	-18	110
Ostatní trvalé zatížení	$G_{k2}$	1.35				18	-11	71
Vlak LM-71	$Q_{71}$	1.45	1.31	1.31	1.1	196	-132	745
Odstř LM-71	$Q_{71-O}$	1.45			1.1	-6	-14	-1
Vlak LM-71	$Q_{71min}$	1.45	1.31	1.31	1.1	0	0	0
Rozjezdové a brzdné síly	$Q_{lak}$	1.45			1.1	19	-1	-5
Boční rázy	$X_{Sk}$	1.45			1.1	87	-12	14
Vítr	$X_w$	1.50				149	-98	146
Teplota	$X_t$	1.50				-797	1	196
Revizní chodník	$X_{ch}$	1.50				22	-15	92

Návrhové hodnoty

		N	Vz	My
		[kN]	[kN]	[kNm]
Stálé zatížení	$G_{k1}$	42.3	-24.8	148.4
Ostatní trvalé zatížení	$G_{k2}$	24.6	-14.8	95.5
Vlak LM-71	$Q_{71}$	409.1	-275.3	1557.1
Odstř LM-71	$Q_{71-O}$	0.0	0.0	-1.4
Vlak LM-71	$Q_{71min}$	0.0	0.0	0.0
Rozjezdové a brzdné síly	$Q_{Lak}$	30.0	-2.3	-7.5
Boční rázy	$Q_{Sk}$	138.6	-18.9	22.4
Vítr	$Q_w$	224.2	-146.4	219.1
Teplota	$Q_t$	1195.7	0.9	293.5
Revizní chodník	$X_{ch}$	33.5	-21.8	138.3
LM-71				
gr11 - max. svislé a boční	$Q_{gr11-71}$	478.4	-284.7	1568.3
gr12 - boční stabilita	$Q_{gr12-71}$	547.7	-294.2	1579.5
gr13 - maximální podélná	$Q_{gr13-71}$	234.6	-140.0	770.4
gr14 - maximální boční	$Q_{gr14-71}$	343.2	-156.5	799.6

Maximální návrhové hodnoty zatížení

komb. č.	N [kN]	Vz [kN]	My [kNm]
3	121	-480	2219

Charakteristické hodnoty

			Lok	Glo		N	Vz	My
		$\gamma_F$	$\phi_2$	$\phi_2$	$\alpha$	[kN]	[kN]	[kNm]
Vlak LM-71	$Q_{71}$	1.00	1.2	1.2	1	195.8	-131.8	745.2
Vlak LM-71	$Q_{71min}$	1.00	1.2	1.2	1	0.0	0.0	0.0

Návrhové hodnoty

		N [kN]	Vz [kN]	My [kNm]
Vlak LM-71	Q <sub>71</sub>	235.0	-158.1	<b>894.3</b>
Vlak LM-71	Q <sub>71min</sub>	0.0	0.0	<b>0.0</b>

**3.2.2. Mezní stav únosnosti**

komb. č.	N [kN]	Vz [kN]	My [kNm]
3	121	-480	2219

Ohybová únosnost průřezu

$$\eta_1 = \frac{\sigma_{X,ED}}{f_{yd}} = \frac{N_{Sd}}{f_{yd} * A_{eff}} + \frac{M_{Sd} + N_{Sd} * e_N}{f_{yd} * W_{eff,y}}$$

V horních vláknech průřezu

$$\begin{array}{rcll} \eta_1 = & -0.008 & & 0.430 \\ \eta_1 = & 0.422 & < & 1,0 \\ \hline & \text{VYHOVÍ} & & \end{array}$$

V dolních vláknech průřezu

$$\begin{array}{rcll} \eta_1 = & 0.008 & + & 0.545 \\ \eta_1 = & 0.553 & < & 1,0 \\ \hline & \text{VYHOVÍ} & & \end{array}$$

**3.2.3. Mezní stav únavy**

		N [kN]	Vz [kN]	My [kNm]
Vlak LM-71	Q <sub>71</sub>	235	-158	894
Vlak LM-71	Q <sub>71</sub>	0	0	0

Průřezové charakteristiky

$$\begin{array}{llll} A_{eff} = & 45410 \text{ mm}^2 & h = & 895 \text{ mm} \\ A_v = & 11410 \text{ mm}^2 & C_{z,eff} = & 494 \text{ mm} \\ I_{y,eff} = & 6.00E+09 \text{ mm}^4 & e_N = & 0 \text{ mm} \\ I_{z,eff} = & 8.22E+08 \text{ mm}^4 & t_w = & 14 \text{ mm} \end{array}$$



$$\begin{aligned} i_{y,eff} &= 364 \text{ mm} & h_w &= 815 \text{ mm} \\ i_{z,eff} &= 135 \text{ mm} & t_{mostovka} &= 35 \text{ mm} \end{aligned}$$

bod D - Krční svar horní pásnice			
$W_{eff,y,A}$	$1.50E+07 \text{ mm}^3$	$h_A$	895 mm
bod B - Svar výztuhy			
$W_{eff,y,B}$	$1.64E+07 \text{ mm}^3$	$h_B$	860 mm
bod C - Svar výztuhy			
$W_{eff,y,C}$	$1.34E+07 \text{ mm}^3$	$h_C$	45 mm
bod D - Krční svar dolní pásnice			
$W_{eff,y,D}$	$1.22E+07 \text{ mm}^3$	$h_D$	0 mm

Doprava:  $5 \cdot 10^6 \text{ t/kolej}$   
Globální

$L_D = 15.6 \text{ m}$   
 $\lambda_1 = 0.75$  Standartní doprava - EC Mix  
 $\lambda_2 = 0.72$   
 $\lambda_3 = 1$  doba životnosti 100 let  
 $\lambda_4 = 1$   
 $\lambda = 0.54$   $\gamma_{MF} = 1.35$

			A	B	C	D
			$\Delta\sigma_{E,2}$	$\Delta\sigma_{E,2}$	$\Delta\sigma_{E,2}$	$\Delta\sigma_{E,2}$
			MPa	MPa	MPa	MPa
max	$\Delta\sigma_{E,2}$	MPa	-32.1	-29.3	35.9	39.5
min	$\Delta\sigma_{E,2}$	MPa	0.0	0.0	0.0	0.0
	$\Delta\sigma_{E,2}$		32.1	29.3	35.9	39.5
	t		35	35	45	45
Vyžaduje det. výpočet ks			ano	ne	ne	ano
	ks		0.92	1.00	1.00	0.86
Kategorie det. $\Delta\sigma_c$			80	71	71	80
$(\Delta\sigma_c \cdot ks) / \gamma_{MF}$			<b>54.5</b>	<b>52.6</b>	<b>52.6</b>	<b>51.2</b>
$\gamma_{FF} \cdot \Delta\sigma_{E,2} < (\Delta\sigma_c \cdot ks) / \gamma_{MF}$			<b>Vyhoví</b>	<b>Vyhoví</b>	<b>Vyhoví</b>	<b>Vyhoví</b>
Využití			0.59	0.56	0.68	0.77

### 3.2.4. Závěr

Průřezy vyhoví s následující zatížitelností a využitím v mezním stavu únavy

	<b>Z<sub>LM-71</sub></b>
Hlavní nosník	2.26

	<b>Únava využití</b>
Hlavní nosník	0.77

Rozhodujícím není mezní stav únosnosti a únavy ale průhyb konstrukce viz. kapitola dále.

### 3.3. Smyková únosnost

Charakteristické  
hodnoty

			Glo	Lok		N	Vz	My
		$\gamma_F$	$\phi_3$	$\phi_3$	$\alpha$	[kN]	[kN]	[kNm]
Stálé zatížení	$G_{k1}$	1.35				28	-37	4
Ostatní trvalé zatížení	$G_{k2}$	1.35				17	-31	-10
Vlak LM-71	$Q_{71}$	1.45	1.31	1.31	1.1	154	-268	8
Odstř LM-71	$Q_{71-O}$	1.45			1.1	-2	-26	-43
Vlak LM-71	$Q_{71min}$	1.45	1.31	1.31	1.1	0	0	0
Rozjezdové a brzdné síly	$Q_{lak}$	1.45			1.1	40	-1	-10
Boční rázy	$X_{Sk}$	1.45			1.1	2	-1	0
Vítr	$X_w$	1.50				10	-208	-405
Teplota	$X_t$	1.50				534	16	-131
Revizní chodník	$X_{ch}$	1.50				22	-47	-26

Návrhové hodnoty

		N	Vz	My
		[kN]	[kN]	[kNm]
Stálé zatížení	$G_{k1}$	37.5	-49.4	5.1
Ostatní trvalé zatížení	$G_{k2}$	23.1	-42.2	-13.8
Vlak LM-71	$Q_{71}$	321.1	-559.0	16.3
Odstř LM-71	$Q_{71-O}$	0.0	-37.2	0.0
Vlak LM-71	$Q_{71min}$	0.0	0.0	0.0
Rozjezdové a brzdné síly	$Q_{Lak}$	63.4	-2.3	-16.5
Boční rázy	$Q_{Sk}$	3.8	-1.6	0.1
Vítr	$Q_w$	14.4	-312.5	-607.6
Teplota	$Q_t$	801.3	24.3	-197.2
Revizní chodník	$X_{ch}$	32.5	-70.2	-38.7
LM-71				
gr11 - max. svislé a boční	$Q_{gr11-71}$	386.4	-580.8	-0.1
gr12 - boční stabilita	$Q_{gr12-71}$	356.6	-599.0	8.2
gr13 - maximální podélná	$Q_{gr13-71}$	386.4	-580.8	-0.1
gr14 - maximální boční	$Q_{gr14-71}$	356.6	-599.0	8.2

Maximální návrhové hodnoty zatížení

komb. č.	N [kN]	Vz [kN]	My [kNm]
3	912	-989	-727

$$\begin{aligned}
 f_y &= 355 \\
 t_w &= 14 \text{ mm} \\
 h_w &= 895 \text{ mm} \\
 a &= 600 \text{ mm}
 \end{aligned}$$

$$\begin{aligned}
 h_w / t_w &= 65.0 \\
 \eta &= 1.2 \\
 \varepsilon &= 0.8 \\
 72 \cdot \varepsilon / \eta &= 48.8 \quad (\text{pro nevyztužené stěny}) \\
 31 \varepsilon (k_\tau)^{0.5} / \eta &= 83.8 < 65.0 \\
 \text{NENÍ NUTNO POSOUDIT NA ÚNOSNOST V BOULENÍ OD SMYKU}
 \end{aligned}$$

### Smyková únosnost průřezu

$$V_{pl,Rd} = \frac{A_v \cdot f_y}{\gamma_{M0} \cdot \sqrt{3}}$$

$$\begin{aligned}
 V_{pl,Rd} &= 2568 \text{ kN} > V_{Sd} \\
 2568 &> 989 \text{ kN} \\
 \text{VYHOVÍ} \\
 \frac{V_{Sd}}{V_{pl,Rd}} &= 0.468 \\
 0.385 &< 0.5
 \end{aligned}$$

### 3.4. Krční svary hl. nosníku

$$\begin{aligned}
 f_u &= 510 \text{ MPa} \\
 \gamma_{M2} &= 1.25 \\
 \beta_w &= 0.9 \\
 f_{vw,d} &= f_u / (3^{0.5} \beta_w \gamma_{M2}) \\
 &= 261.7 \text{ MPa} \quad \text{návrhová pevnost svaru ve smyku} \\
 R_{Ed} &= 989.0 \text{ kN} \\
 L &= 500.0 \text{ mm} \\
 V_{Ed} &= 989.0 \text{ kN} \\
 S_{yi} &= 6.365 \text{E}+06 \text{ mm}^3 \\
 I_{yi} &= 6.001 \text{E}+09 \text{ mm}^4 \\
 \text{výška svaru } a &= 6 \text{ mm} \\
 \tau_{||} &= 87.4 \text{ MPa} \\
 \tau_{\perp} &= 116.6 \text{ MPa}
 \end{aligned}$$

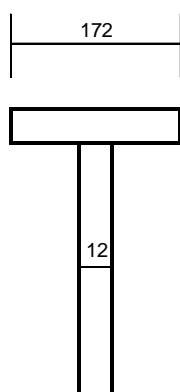
$\sigma_{\perp} =$	116.6 MPa	
<b>posouzení</b>		
$\tau_{\parallel}$	<	$f_{vw,d}$
87.4	<	261.7 <b>VYHOVUJE</b>
<b>srovnávací napětí</b>		
$(\sigma_{\perp}^2 + 3\tau_{\perp}^2 + 3\tau_{\parallel}^2)^{0.5}$	<	$f_u / (\beta_w \gamma_{M2})$
278.0	<	453.3 <b>VYHOVUJE</b>
$\sigma_{\perp}$	<	$f_u / \gamma_{M2}$
116.6	<	408.0 <b>VYHOVUJE</b>

## 4. Příčná výztuha pod podkladnicí

### 4.1. Průřezové charakteristiky

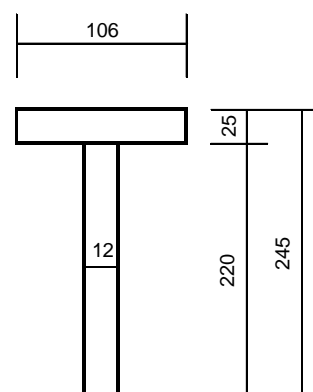
1. MS		
Výška	245	mm
$b_h$	172	mm
$t_{f,h}$	25	mm
$h_w$	220	mm
$t_w$	12	mm
$b_d$	12	mm
$t_{f,d}$	0	mm

Průřezové charakteristiky		
A	6940	mm <sup>2</sup>
$A_v$	2640	mm <sup>2</sup>
$S_z$	4.102E+05	mm <sup>3</sup>
$e_h$	59	mm
$c_z = e_d$	186	mm
x	-39	mm
$I_y$	3.542E+07	mm <sup>4</sup>
$I_z$	1.063E+07	mm <sup>4</sup>
$i_y$	71	mm
$i_z$	39	mm
$W_{el,y,h}$	5.993E+05	mm <sup>3</sup>
$W_{el,y,d}$	1.905E+05	mm <sup>3</sup>
$W_{el,z,h}$	1.236E+05	mm <sup>3</sup>
$W_{el,z,d}$	1.772E+06	mm <sup>3</sup>
$W_{pl,y}$	2.870E+05	mm <sup>3</sup>
$W_{pl,z}$	1.928E+05	mm <sup>3</sup>



ÚNAVA		
Výška	245	mm
$b_h$	106	mm
$t_{f,h}$	25	mm
$h_w$	220	mm
$t_w$	12	mm
$b_d$	12	mm
$t_{f,d}$	0	mm

Průřezové charakteristiky		
A	5290	mm <sup>2</sup>
$A_v$	2640	mm <sup>2</sup>
$S_z$	3.895E+05	mm <sup>3</sup>
$e_h$	74	mm
$c_z = e_d$	171	mm
x	28	mm
$I_y$	3.063E+07	mm <sup>4</sup>
$I_z$	2.513E+06	mm <sup>4</sup>
$i_y$	76	mm
$i_z$	22	mm
$W_{el,y,h}$	4.160E+05	mm <sup>3</sup>
$W_{el,y,d}$	1.788E+05	mm <sup>3</sup>
$W_{el,z,h}$	4.741E+04	mm <sup>3</sup>
$W_{el,z,d}$	4.188E+05	mm <sup>3</sup>
$W_{pl,y}$	3.236E+05	mm <sup>3</sup>
$W_{pl,z}$	7.815E+04	mm <sup>3</sup>



### 4.2. Vnitřní síly

Charakteristické hodnoty

		Glo	Lok		N	Vz	My
--	--	-----	-----	--	---	----	----

		$\gamma_F$	$\phi_3$	$\phi_3$	$\alpha$	[kN]	[kN]	[kNm]
Stálé zatížení	$G_{k1}$	1.35				-0.2	2.6	0.5
Ostatní trvalé zatížení	$G_{k2}$	1.35				-3.5	4.0	-3.3
Vlak LM-71	$Q_{71}$	1.45	2.00	2.00	1.1	3.4	-3.6	9.4
Vlak LM-71	$Q_{71min}$	1.45	2.00	2.00	1.1	0.0	0.0	0.0
Rozjezdové a brzdné síly	$Q_{lak}$	1.45			1.1	0.0	0.0	0.0
Boční rázy	$X_{Sk}$	1.45			1.1	0.8	-1.1	1.5
Vítr	$X_w$	1.50				-1.4	14.9	7.0
Teplota	$X_t$	1.50				-0.1	0.0	0.0

## Návrhové hodnoty

		N [kN]	Vz [kN]	My [kNm]
Stálé zatížení	$G_{k1}$	-0.3	3.5	0.7
Ostatní trvalé zatížení	$G_{k2}$	-4.8	5.5	-4.4
Vlak LM-71	$Q_{71}$	10.8	-11.3	30.0
Vlak LM-71	$Q_{71min}$	0.0	0.0	0.0
Rozjezdové a brzdné síly	$Q_{Lak}$	0.0	0.0	0.0
Boční rázy	$Q_{Sk}$	1.3	-1.8	2.4
Vítr	$Q_w$	-2.1	22.4	10.5
Teplota	$Q_t$	-0.1	0.0	0.0
LM-71				
gr11 - max. svislé a boční	$Q_{gr11-71}$	11.5	-12.2	31.1
gr12 - boční stabilita	$Q_{gr12-71}$	12.1	-13.1	32.3
gr13 - maximální podélná	$Q_{gr13-71}$	5.4	-5.7	15.0
gr14 - maximální boční	$Q_{gr14-71}$	6.7	-7.5	17.4

## Maximální návrhové hodnoty zatížení

komb. č.	N [kN]	Vz [kN]	My [kNm]
1	5	18	39

## Únava

## Charakteristické hodnoty

		$\gamma_F$	Lok $\phi_2$	Glo $\phi_2$	$\alpha$	N [kN]	Vz [kN]	My [kNm]
Vlak LM-71	$Q_{71}$	1.00	1.67	1.67	1	3.4	-3.6	9.4
Vlak LM-71	$Q_{71min}$	1.00	1.67	1.67	1	0.0	0.0	0.0

## Návrhové hodnoty

		N [kN]	Vz [kN]	My [kNm]
Vlak LM-71	$Q_{71}$	5.7	-5.9	<b>15.7</b>
Vlak LM-71	$Q_{71min}$	0.0	0.0	<b>0.0</b>

### 4.3. Mezní stav únosnosti

$f_y =$	345 MPa	$f_y =$	355 MPa
$f_u =$	470 MPa	$f_u =$	470 MPa
$\gamma_{M0} =$	1.00		
$\gamma_{M1} =$	1.10		
$\gamma_{M2} =$	1.25		
$f_{yd} =$	345.00 MPa	$f_{yd} =$	355.00 MPa

Maximální návrhové hodnoty zatížení

komb. č.	N [kN]	Vz [kN]	My [kNm]
	5	18	39

Průřezové charakteristiky

$A_{eff} =$	6940 mm <sup>2</sup>	$h =$	245 mm		
$A_v =$	2640 mm <sup>2</sup>	$c_{z,eff} =$	186 mm	$c_z =$	186 mm
$I_{y,eff} =$	3.54E+07 mm <sup>4</sup>	$e_N =$	0 mm		
$I_{z,eff} =$	1.06E+07 mm <sup>4</sup>	$t_w =$	12 mm		
$i_{y,eff} =$	71 mm	$h_w =$	220 mm		
$i_{z,eff} =$	39 mm	$h_{výztuha} =$	700 mm		
$W_{eff,y,h} =$	5.99E+05 mm <sup>3</sup>				
$W_{eff,y,d} =$	1.91E+05 mm <sup>3</sup>				
$W_{eff,y,d} =$	6.89E+04 mm <sup>3</sup>				

Ohybová únosnost průřezu

$$\eta_1 = \frac{\sigma_{X,ED}}{f_{yd}} = \frac{N_{Sd}}{f_{yd} \cdot A_{eff}} + \frac{M_{Sd} + N_{Sd} \cdot e_N}{f_{yd} \cdot W_{eff,y}}$$

V horních vláknech průřezu

$\eta_1 =$	-0.002	+	0.189
$\eta_1 =$	0.187	<	1,0
VYHOVÍ			

V dolních vláknech průřezu

$\eta_1 =$	0.002	+	0.578
$\eta_1 =$	0.580	<	1,0
VYHOVÍ			

#### 4.4. Mezní stav únavy

Rozkmit

		N [kN]	Vz [kN]	My [kNm]
Vlak LM-71	Q <sub>71</sub>	6	-6	16

$A_{eff} =$	5290 mm <sup>2</sup>	$h =$	245 mm		
$A_v =$	2640 mm <sup>2</sup>	$C_{z,eff} =$	171 mm	$C_z =$	186 mm
$I_{y,eff} =$	3.06E+07 mm <sup>4</sup>	$e_N =$	-15 mm		
$I_{z,eff} =$	2.51E+06 mm <sup>4</sup>	$t_w =$	12 mm		
$i_{y,eff} =$	76 mm	$h_w =$	220 mm		
$i_{z,eff} =$	22 mm	$t_{fh} =$	25 mm		
$W_{eff,y,h,A} =$	6.30E+05 mm <sup>3</sup>			bod A - podélný svar	
$W_{eff,y,d,B} =$	6.30E+05 mm <sup>3</sup>	$h_A =$	220 mm		
$W_{eff,y,C} =$	1.79E+05 mm <sup>3</sup>			bod B - příčný svar	
$W_{eff,y,D} =$	1.79E+05 mm <sup>3</sup>	$h_B =$	220 mm		
				bod C - základní materiál	
		$h_C =$	0 mm		

#### Ohybová únosnost průřezu

$\lambda_1 =$	1.6	Standartní doprava - EC Mix
$\lambda_2 =$	0.72	tzn. 5*10 <sup>6</sup> t/kolej
$\lambda_3 =$	1	doba životnosti 100 let
$\lambda_4 =$	1	
$\lambda =$	1.15	$\gamma_{Mf} =$ 1.15

			A	B	C
			$\Delta\sigma_{E,2}$	$\Delta\sigma_{E,2}$	$\Delta\sigma_{E,2}$
			MPa	MPa	MPa
LOK 1	$\sigma_{E,2}$	MPa	-28.5	-28.5	100.5
GLO 1	$\sigma_{E,2}$	MPa	1.2	1.2	1.2
LOK 2	$\sigma_{E,2}$	MPa	0.0	0.0	0.0
GLO 2	$\sigma_{E,2}$	MPa	0.0	0.0	0.0
	$\Delta\sigma_{E,2}$		<b>27.3</b>	<b>27.3</b>	<b>101.8</b>
	t		25	25	0
Vyžaduje det. výpočet ks			ne	ne	ne
	ks		1.00	1.00	1.00
Kategorie det. $\Delta\sigma_c$			56	80	125
$(\Delta\sigma_c * ks) / \gamma_{Mf}$			<b>48.7</b>	<b>69.6</b>	<b>108.7</b>
$\gamma_{Ff} * \Delta\sigma_{E,2} < (\Delta\sigma_c * ks) / \gamma_{Mf}$			<b>Vyhoví</b>	<b>Vyhoví</b>	<b>Vyhoví</b>
Využití			0.56	0.39	0.94

## 4.5. Krční svar

$f_u =$	510 MPa	
$\gamma_{M2} =$	1.25	
$\beta_w =$	0.9	
$f_{vw,d} = f_u / (3^{0.5} \beta_w \gamma_{M2}) =$	261.7 MPa	návrhová pevnost svaru ve smyku
$R_{Ed} =$	<b>316.0</b> kN	
$L =$	450.0 mm	
$V_{Ed} =$	<b>158.0</b> kN	
$S_{yi} =$	2.004E+05 mm <sup>3</sup>	
$I_{yi} =$	3.542E+07 mm <sup>4</sup>	
výška svaru $a =$	<b>5</b> mm	
$\tau_{  } =$	89.4 MPa	
$\tau_{\perp} =$	49.7 MPa	
$\sigma_{\perp} =$	49.7 MPa	
<b>posouzení</b>		
$\tau_{  }$	<	$f_{vw,d}$
89.4	<	261.7 <b>VYHOVUJE</b>
<b>srovnávací napětí</b>		
$(\sigma_{\perp}^2 + 3\tau_{\perp}^2 + 3\tau_{  }^2)^{0.5}$	<	$f_u / (\beta_w \gamma_{M2})$
183.9	<	453.3 <b>VYHOVUJE</b>
$\sigma_{\perp}$	<	$f_u / \gamma_{M2}$
49.7	<	408.0 <b>VYHOVUJE</b>

## 4.6. Závěr

Průřezy vyhoví s následující zatížitelností a využitím v mezním stavu únavy

	<b><math>Z_{LM-71}</math></b>
Hlavní nosník	2.05

	<b>Únava využití</b>
Příčná výztuha	0.94

Rozhodují je mezní stav únavy.



## 4.7. Lokální únosnost stěny v příčniku

$$F_{sd} = 989 \text{ kN}$$

Rozměry pásnice:

$$b_f = 300 \text{ mm}$$

$$t_f = 45 \text{ mm}$$

rozměry stojiny:

$$t_w = 14 \text{ mm}$$

$$h_w = 895 \text{ mm}$$

$$a = 600 \text{ mm}$$

Roznášecí šířka:

$$s_s = 500 \text{ mm}$$

Napětí ve stojině

$$\sigma_{f,Ed} = 118.3 \text{ MPa} \quad (\text{odhad na stanou bezpečnou})$$

$$\text{OCEL: S 345} \quad \gamma_m = 1.10$$

$$f_{yf} = 345.0 \quad f_{yd} = 313.6$$

$$f_{yw} = 199.2 \quad f_{ywd} = 181.1$$

$$25 \cdot t_f = 1125 \text{ mm}$$

$$k = 0.55$$

$$h_w/t_w = 63.92857 < 322.53$$

$$m_1 = 37.1$$

$$m_2 = 7.9$$

$$I_y = 1194 \text{ mm}^4$$

$$k_F = 10.5$$

$$F_{cr} = 6055 \text{ kN}$$

$$\lambda_F = 0.74$$

$$\chi_F = 0.674 \leq 1$$

$$L_{eff} = 805.1 \text{ mm}$$

$$\eta_1 = 0.38$$

$$\eta_2 = 0.48$$

Interakce

$$0.786 \leq 1.4$$

**VYHOVUJE**

## 5. Opěra

### 5.1. Reakce

Charakteristické hodnoty

			Glo	Lok		Rx	Ry	Rz
		$\gamma_F$	$\phi_3$	$\phi_3$	$\alpha$	[kN]	[kN]	[kN]
Stálé zatížení	$G_{k1}$	1.35				0	0	246
Ostatní trvalé zatížení	$G_{k2}$	1.35				0	0	109
Vlak LM-71	$Q_{71}$	1.45	1.31	1.31	1.1	0	0	1042
Odstř LM-71	$Q_{71-O}$	1.45			1.1	0	50	0
Vlak LM-71	$Q_{71min}$	1.45	1.31	1.31	1.1	0	0	0
Rozjezdové a brzdné síly	$Q_{lak}$	1.45			1.1	182	0	-6
Boční rázy	$X_{Sk}$	1.45			1.1	0	100	0
Vítr	$X_w$	1.50				0	153	0
Teplota	$X_t$	1.50				2659	0	0
Revizní chodník	$X_{ch}$	1.50				0	0	143

Návrhové hodnoty

		Rx	Ry	Rz
		[kN]	[kN]	[kN]
Stálé zatížení	$G_{k1}$	0.0	0.0	332.7
Ostatní trvalé zatížení	$G_{k2}$	0.0	0.0	146.6
Vlak LM-71	$Q_{71}$	0.0	-0.1	2176.9
Odstř LM-71	$Q_{71-O}$	0.0	0.0	0.0
Vlak LM-71	$Q_{71min}$	0.0	0.0	0.0
Rozjezdové a brzdné síly	$Q_{Lak}$	290.3	0.0	-9.3
Boční rázy	$Q_{Sk}$	0.0	159.0	0.0
Vítr	$Q_w$	0.0	229.6	0.0
Teplota	$Q_t$	3987.8	0.0	0.0
Revizní chodník	$X_{ch}$	0.0	0.0	214.5
LM-71				
gr11 - max. svislé a boční	$Q_{gr11-71}$	0.0	-0.1	2176.9
gr12 - boční stabilita	$Q_{gr12-71}$	0.0	-0.1	2176.9
gr13 - maximální podélná	$Q_{gr13-71}$	290.3	79.5	1079.1
gr14 - maximální boční	$Q_{gr14-71}$	145.2	159.0	1083.8

Maximální návrhové hodnoty zatížení

komb. č.	Rx [kN]	Ry [kN]	Rz [kN]
	4220	357	2656

## 5.2. Úložný práh opěr – napětí pod ozubem, příčné tahy

Úložné prahy budou z betonu C30/37

Maximální svislá reakce  $F_{zd} = 2646 \text{ kN}$

Příčná síla  $F_{yd} = 357 \text{ kN}$

Podélná síla  $F_{xd} = 4220 \text{ kN}$

### Napětí pod ozubem

plocha ozubu

$$A_{C0} = 0,2 \cdot 3,0 = 0,6 \text{ m}^2$$

roznesená plocha

$$A_{C1} = 0,8 \cdot 3,0 = 2,4 \text{ m}^2$$

pevnost betonu v tlaku

$$f_{ck} = 30 \text{ MPa}$$

$$f_{c,d} = \alpha_{cc} \cdot f_{ck} / \gamma_M = 0,85 \cdot 30 / 1,5 = 17,0 \text{ MPa}$$

### **Soustředěná síla na mezi únosnosti**

$$F_{Rdu} = A_{C0} \cdot f_{c,d} \cdot (A_{C1} / A_{C0})^{0,5} = 0,6 \cdot 17 \cdot (2,4 / 0,6)^{0,5} = 20,4 \text{ MN} \gg F_{zd} = 2,646 \text{ MN}$$

**VYHOVUJE**

### Napětí v pracovní spáře

plocha ozubu

$$A_{C0} = 0,2 \cdot 3,0 = 0,6 \text{ m}^2$$

roznesená plocha

$$A_{C1} = 0,37 \cdot 3,0 = 1,11 \text{ m}^2$$

pevnost betonu v tlaku

$$f_{ck} = 30 \text{ MPa}$$

$$f_{c,d} = \alpha_{cc} \cdot f_{ck} / \gamma_M = 0,85 \cdot 30 / 1,5 = 17,0 \text{ MPa}$$

### **Soustředěná síla na mezi únosnosti**

$$F_{Rdu} = A_{C0} \cdot f_{c,d} \cdot (A_{C1} / A_{C0})^{0,5} = 0,6 \cdot 17 \cdot (1,11 / 0,6)^{0,5} = 13,87 \text{ MN} \gg F_{zd} = 2,646 \text{ MN}$$

**VYHOVUJE**

### Příčné tahy – ve směru osy mostu

šířka ozubu

$$a = 0,2 \text{ m}$$

roznesená šířka

$$b = 0,6 \text{ m}$$

příčná tahová síla

$$T = 1/4 \cdot F_{zd} \cdot (b-a)/b + F_{xd} = 0,25 \cdot 2656 \cdot (0,8-0,2)/0,8 + 4220 = 481 + 4220 = 4701 \text{ kN}$$

mez kluzu betonářské výztuže

$$f_{sk} = 500 \text{ MPa}$$

$$f_{s,d} = f_{sk} / \gamma_s = 500 / 1,15 = 434 \text{ MPa}$$

nutná plocha výztuže

$$A_{a,nutná} = 1,5 \cdot T / f_{s,d} = 1,5 \cdot 4701 / 434 = 16247 \text{ mm}^2$$

navržená výztuž (3000/150=20 ks)

$$\mathbf{20x2\phi R22} \quad A_a = 20 \cdot 2 \cdot 491 = 15200 \text{ mm}^2$$

$$\mathbf{3x R32} \quad A_a = 3 \cdot 804 = 2411 \text{ mm}^2$$

$$A_a = 20 \cdot 2 \cdot 491 = 17611 \text{ mm}^2$$

**Dvoustržné trmínky Ø22/150 mm + svislý trn 3x R32, ocel R10505 vyhovují.**

**Podélné tahy u liniového uložení nerozhodují.**

### 5.3. Příčná zarážka

Příčná síla  $F_{yd} = 357 \text{ kN}$

Výztuž 3x R32:  $A_a = 3 \cdot 804 = 2411 \text{ mm}^2$

$$f_y = 500 \text{ MPa}$$

$$\gamma_{M0} = 1.15$$

$$A_v = 2411 \text{ mm}^2$$

$$V_{pl,RD} = A_v \cdot (f_y / 3^{0.5}) / \gamma_{M0}$$

$$V_{pl,RD} = 605 \text{ KN}$$

$$V_{pl,RD} > V_{ED}$$

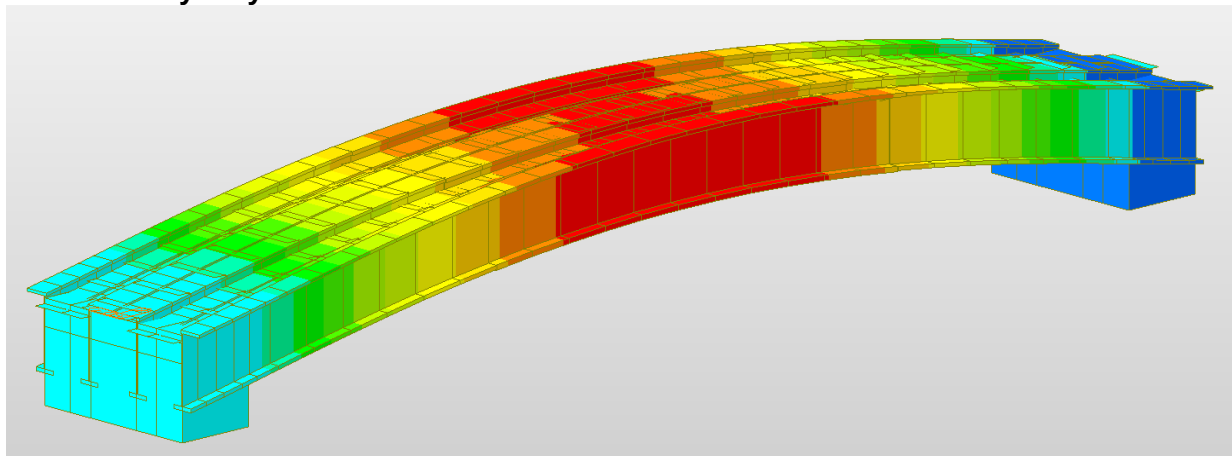
$$605 > 357$$

---

**Vyhoví**

## 6. Dynamická analýza konstrukce

### 1. Vlastní ohybový tvar



Meze vlastních frekvencí

$$n_0 = 8.13 \text{ Hz}$$

$$L = 15.6 \text{ M}$$

Horní mez

$$n_0 = 94.76 \cdot L^{(-0.748)}$$

$$n_0 = 12.14 > 8.13$$

Vyhoví

Dolní mez

$$n_0 = 80/L$$

$$n_0 = 5.13 < 8.13$$

Vyhoví

## 7. Deformace konstrukce

Svislá deformace konstrukce

**Stálé zatížení: 4,2 mm**

**Nahodilé zatížení dopravou:**

Rozhodující zatížení

$$\text{UIC-71} \cdot \alpha \cdot \phi_3 = 17.0 \cdot 1.1 \cdot 1.31 = \mathbf{24.5 \text{ mm}} < 1/600 L = 15600/600 = \mathbf{26 \text{ mm}}$$

**VYHOVÍ**

Deformace z hlediska pohody cestujících

Pro jedno prosté pole a rychlost 60 km/h:  $600 \cdot 0.7 = 420$  ale min.  $L/600$

Rozhodující zatížení

$$\text{UIC-71} \cdot \phi_3 = 16. \cdot 1.31 = \mathbf{22.3 \text{ mm}} < 1/600 L = 15600/600 = \mathbf{26 \text{ mm}}$$

**VYHOVÍ**

**Nadvýšení konstrukce:**

$$4.2 + 0.25 \cdot 24.5 = 10.3 \text{ mm}$$

	$Z_{\text{LM-71}}$
Svislé deformace hlavní nosníku	1.14

## 8. Tabulka zatížitelnosti

### Přehled zatížitelnosti částí mostu

#### A. Identifikace mostu

km 66,856

TÚ (číslo, název): 0331 Havlovice (včetně) (býv.  
Paseč. mimo) - Tachov (mimo)

DÚ: 30 Staré Sedliště - Tachov zastávka

#### B. Identifikace části mostu

Část mostu: nosná konstrukce / spodní stavba      poř. číslo 1      pod kolejí č. 1  
(ve směru staničení)

#### C. Doplňující údaje části mostu

Kategorie zatížitelnosti: C      Výpočtový model: prutový

Geometrie koleje uvažovaná v přepočtu části mostu (ve směru staničení):

	na začátku	uprostřed	na konci
poloměr oblouku	v přímé	přechodnice	přechodnice
převýšení koleje	0 mm	2 mm	18 mm
excentricita osy koleje	-10 mm	-10 mm	+10 mm

Popis závad uvažovaných v přepočtu části mostu:

nová NK, bez závad a oslabení

Datum zjištění technického stavu mostu: SŽDC, s.o.: 11/2016

zpracovatelem přepočtu: Ing. Ondřej Lojík, Ph.D.

Poznámka k části mostu: Přepočet je proveden pro novou nosnou konstrukci.

Poř. číslo	Prvek	Detail	Namáhání	$k_i$	Typ	$L_p$	$\phi$	$L_\phi$	$\gamma_{Q,LM71}$	$\gamma_{Q,LM71,E}$	Viz č. str. přep.	$Z_{LM71}$	$Z_{LM71,E}$	Pozn.
1	2	3	4	5	6	7	8	9	10	11	12	13	14	15
1	Hlavní nosník	Střed kce	normálové napětí	1,00	M	15,60	1,31	15,60	1,45			2,13		
2	Hlavní nosník	Změna průřezu	normálové napětí	1,00	M	17,40	1,31	17,40	1,45			2,26		
2	Příčná výztuha	Pod podkladnicí	normálové napětí	1,00	S	0,80	2,00	4,20	1,45			2,05		
2	Hlavní nosník	Deformace	průhyb	1,00	M	17,40	1,27	17,40	-			1,14		
3	Spodní stavba	úložný práh	příčné tahy	1,00	S	-	1,27	17,40	1,45			1,20		

Dne: 26. 3. 2021

zatížitelnost určil: Ing. Ondřej Lojík, Ph.D.